

非正弦电流-相位关系约瑟夫森结动力学行为的分析

杨亮亮¹⁾ 何楷泳¹⁾ 戴根婷¹⁾ 常金琳¹⁾ 姜临盼¹⁾
孙振源¹⁾ 刘建设¹⁾ 陈炜^{1)2)3)†}

1)(清华大学集成电路学院, 超导量子信息处理实验室, 北京 100084)

2)(北京国家信息科学技术研究中心, 北京 100084)

3)(清华大学北京未来芯片创新中心, 北京 100084)

S1 Nb/Al-Al₂O₃/Nb 约瑟夫森结的制备工艺以及扫描电子显微镜观察

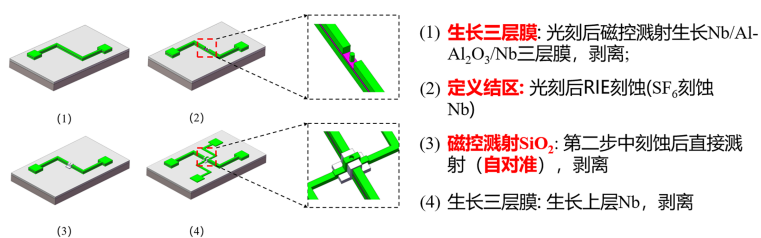


图 S1 Nb/Al-Al₂O₃/Nb 约瑟夫森结制备工艺流程

Fig. S1. Fabrication process flow of the Nb/Al-Al₂O₃/Nb Josephson junction.

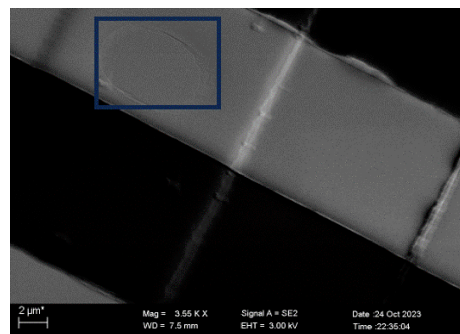


图 S2 Nb/Al-Al₂O₃/Nb 约瑟夫森结 SEM 观察 (蓝色方框内是结区)

Fig. S2. SEM micrograph of the Nb/Al-Al₂O₃/Nb Josephson junction. The junction region is indicated by the blue box.

† Corresponding author. E-mail: weichen@mail.tsinghua.edu.cn

S2 ADS 仿真电路图

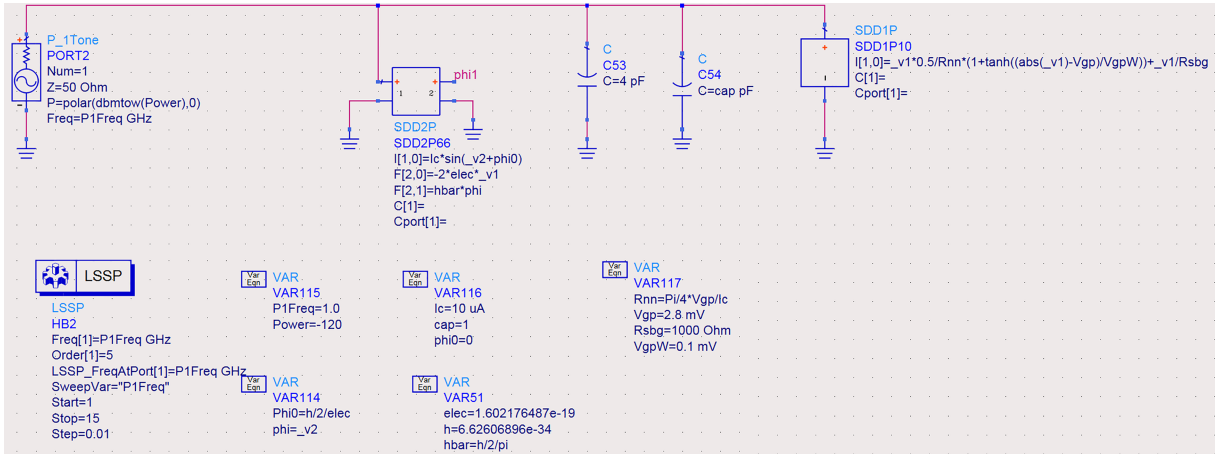


图 S3 正弦型 CPR 约瑟夫森结构建的非线性谐振器仿真

Fig. S3. Simulation of a nonlinear resonator based on a Josephson element with a sinusoidal CPR.

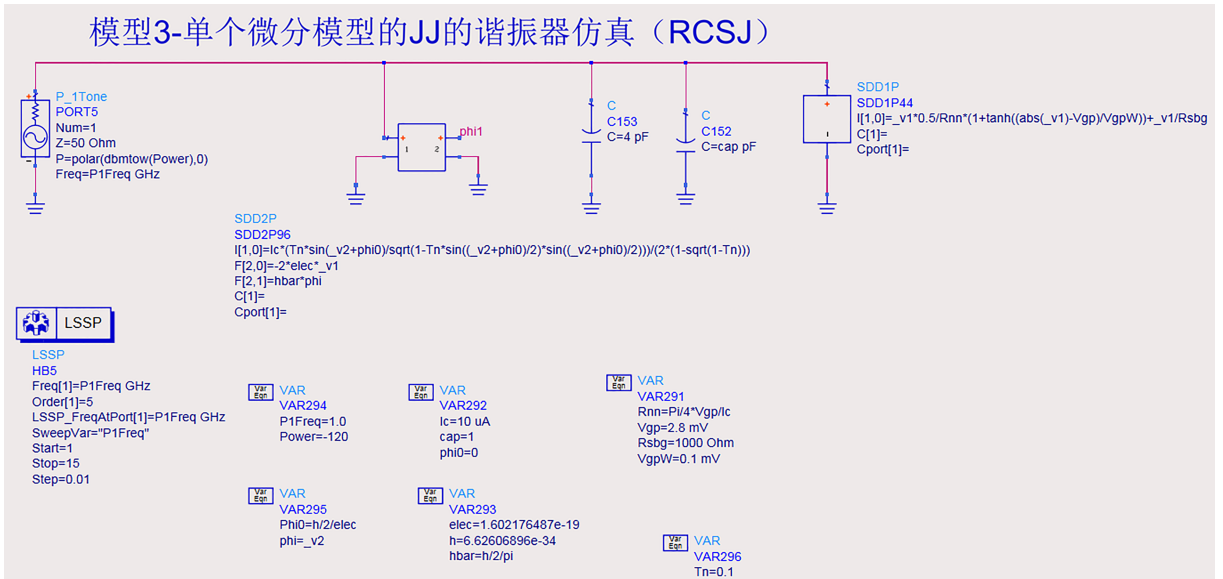


图 S4 非正弦型 CPR 约瑟夫森结构建的非线性谐振器仿真

Fig. S4. Simulation of a Josephson-junction-based nonlinear resonator with a non-sinusoidal CPR.

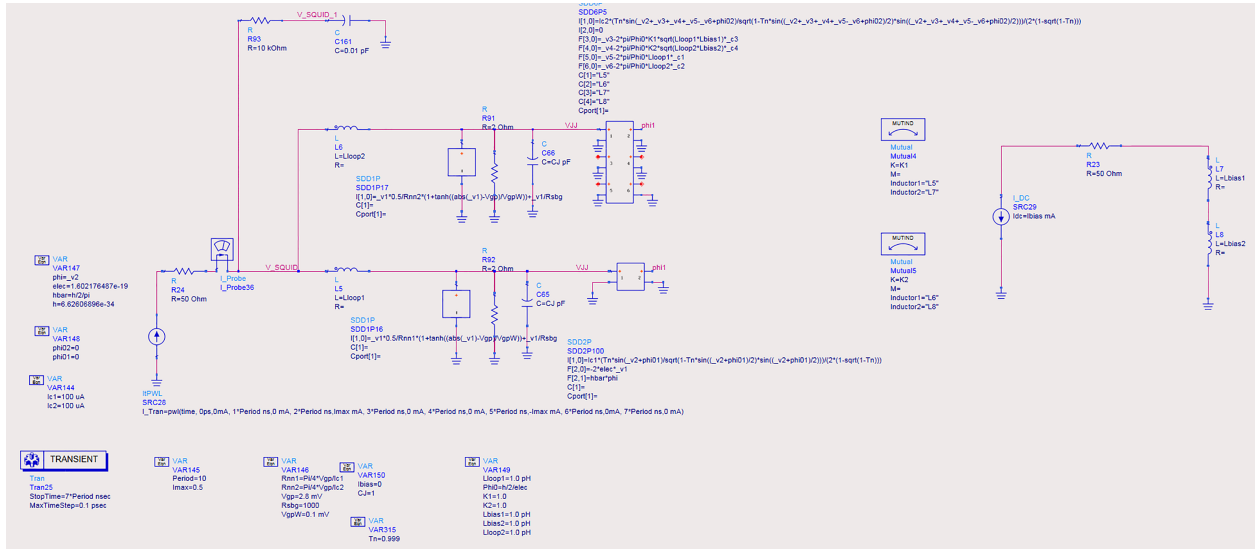


图 S5 基于非正弦 CPR 约瑟夫森结的 DC-SQUID 瞬态仿真电路原理图 (模型遵循 RCSJ 等效电路并考虑回路磁通量子化)

Fig. S5. Transient-simulation circuit schematic of a DC-SQUID based on Josephson junctions with a non-sinusoidal CPR. The model follows the RCSJ equivalent circuit and enforces loop flux quantization.